

UNIVERSIDADE FEDERAL DE VIÇOSA – UFV
CENTRO DE CIÊNCIAS EXATAS E TECNOLÓGICAS – CCE
DEPARTAMENTO DE ENGENHARIA ELÉTRICA - DEL

Sistemas de Controle II

ELT331

AULA 10 – Diagrama Polar (Diagrama de Nyquist)

Prof. Tarcísio Pizziolo

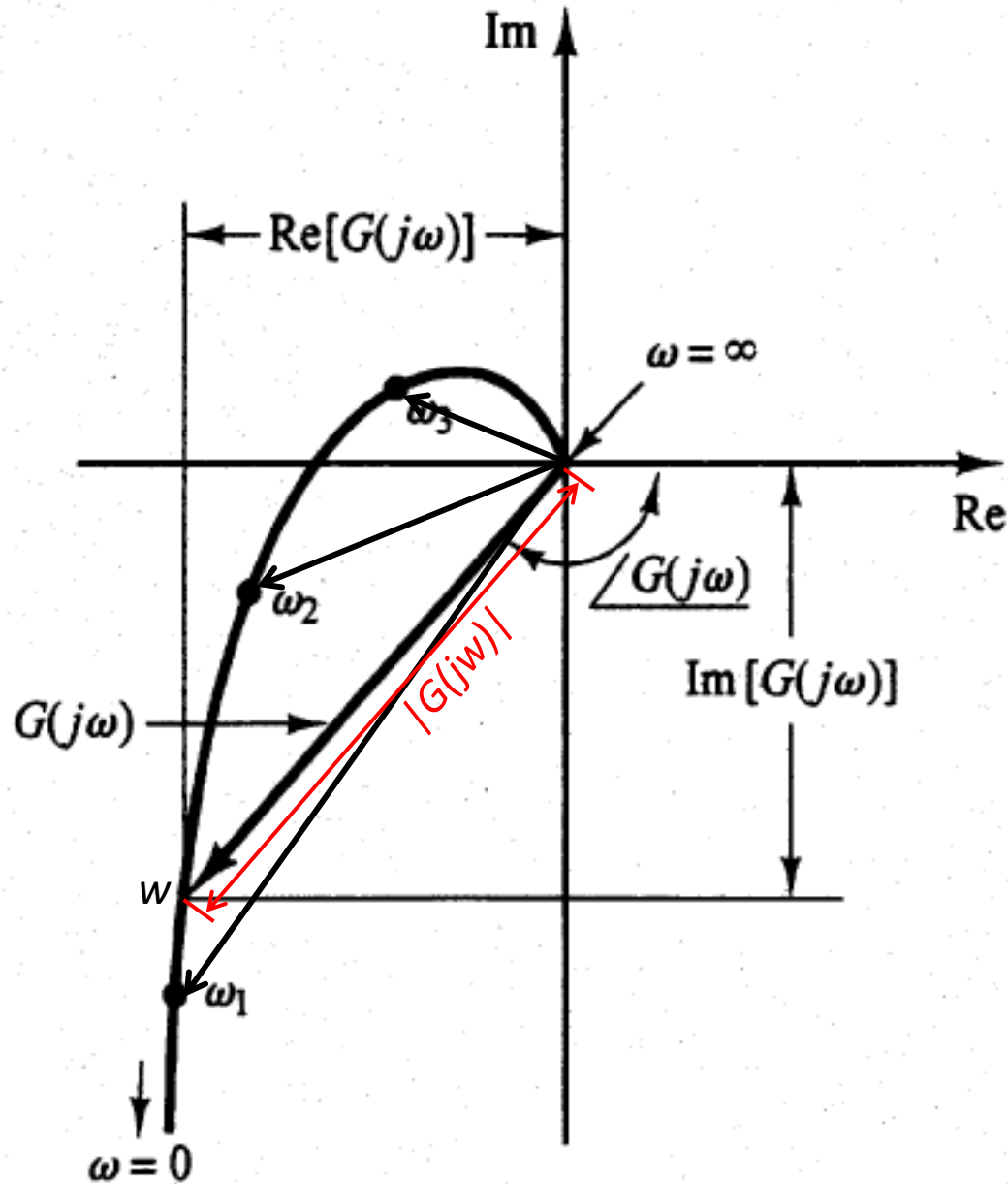
10. Introdução

Diagrama Polar ou Diagrama de Nyquist

- É um gráfico do **Módulo** de $G(j\omega)$ versus o **Ângulo de Fase** de $G(j\omega)$.
- É o lugar dos vetores $|G(j\omega)| \angle G(j\omega)$ com ω variando de **0 a ∞** .
- Medição do Ângulo de Fase:
Positivo: é medido no **sentido anti-horário** a partir do eixo real positivo.
Negativo: é medido no **sentido horário** a partir do eixo real positivo.

É importante indicar os valores da frequência ao longo da curva.

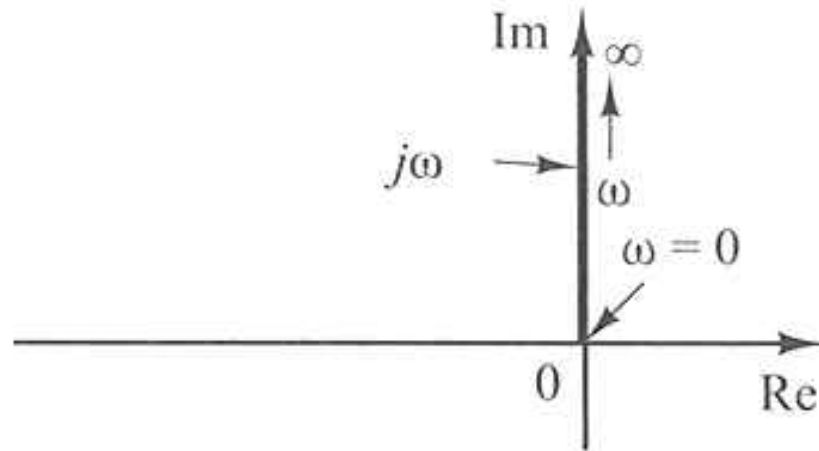
Diagrama Polar ou Diagrama de Nyquist



Construção do Diagrama de Nyquist

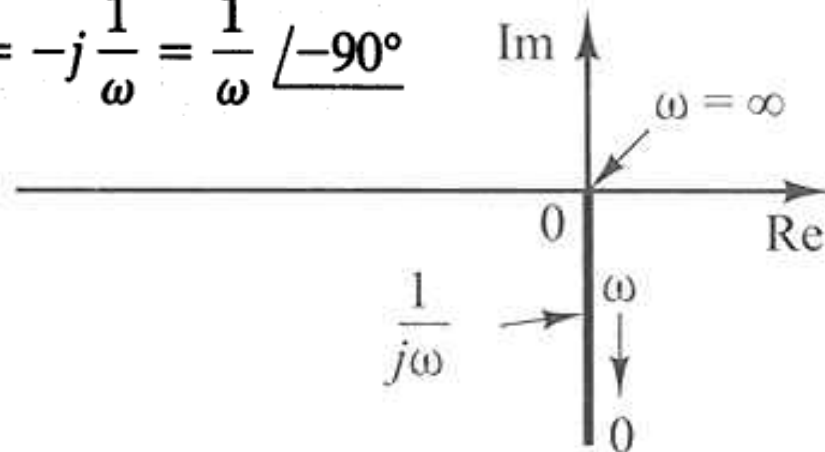
1. Fatores Derivativo e Integral: $(j\omega)^{\mp 1}$

O diagrama polar de $G(j\omega) = j\omega$ é o eixo imaginário positivo.



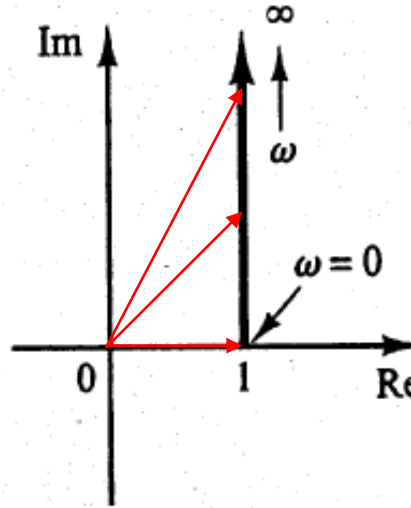
O diagrama polar de $G(j\omega) = 1/j\omega$ é o eixo imaginário negativo, visto que

$$G(j\omega) = \frac{1}{j\omega} = -j \frac{1}{\omega} = \frac{1}{\omega} \angle -90^\circ$$



2. Fatores de Primeira Ordem: $(1 + j\omega T)^{\mp 1}$

O Diagrama Polar da Função de Transferência $(1 + j\omega T)$ é a metade da reta que passa pelo ponto $(1,0)$ no plano s e é paralela ao **eixo-jw**.



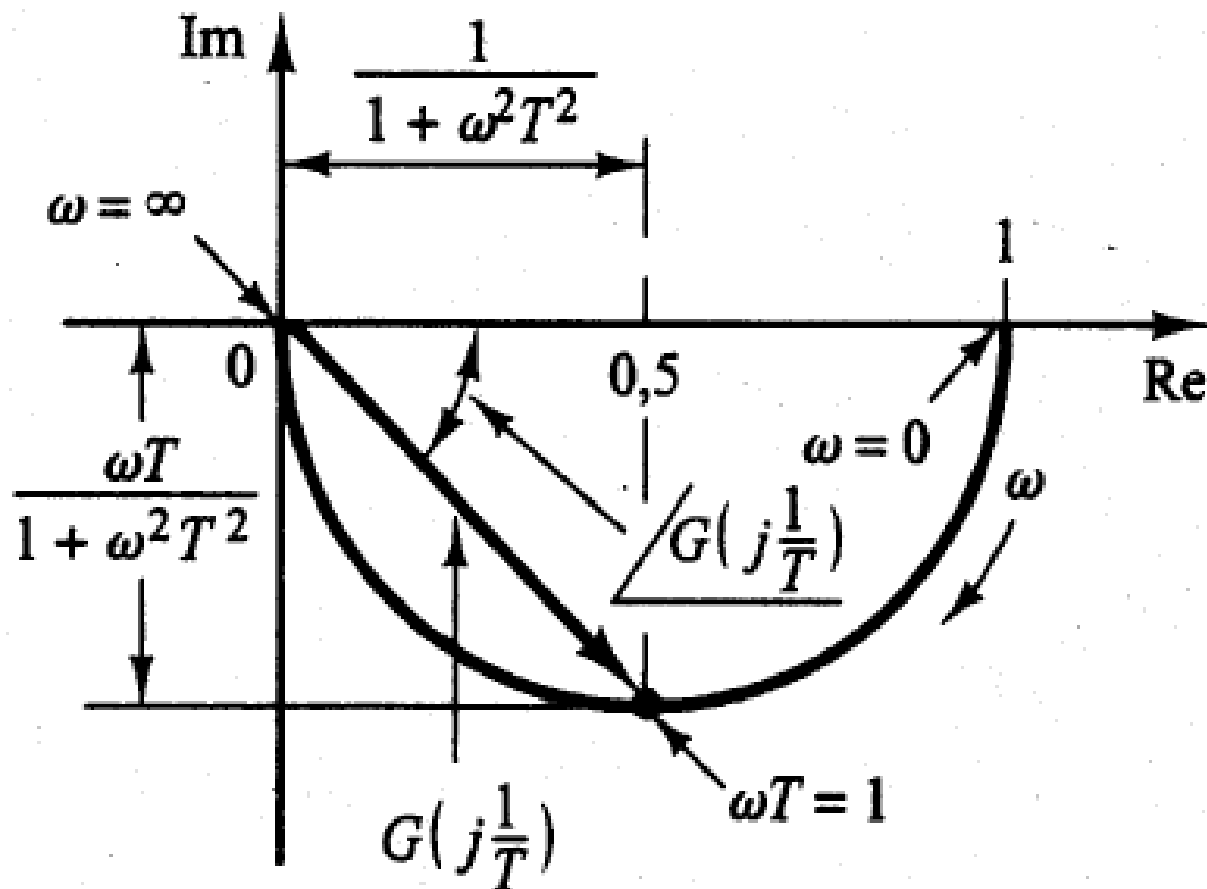
O Diagrama Polar da Função de Transferência $(1 + j\omega T)^{-1}$ é uma semicircunferência negativa com centro em $(0,5;0)$ com raio **0,5**.

$$G(j\omega) = \frac{1}{1 + j\omega T} = \frac{1}{\sqrt{1 + \omega^2 T^2}} \angle -\text{tg}^{-1} \omega T$$

Os valores de $\mathbf{G(jw)}$ em $\mathbf{w = 0}$ e $\mathbf{w = 1/T}$ são, respectivamente:

$$G(j0) = 1 \angle 0^\circ \quad e \quad G\left(j\frac{1}{T}\right) = \frac{1}{\sqrt{2}} \angle -45^\circ$$

Quando $\mathbf{w \rightarrow \infty}$, $\mathbf{|G(jw)| \rightarrow 0}$ e o ângulo de fase $\mathbf{\rightarrow -90^\circ}$.

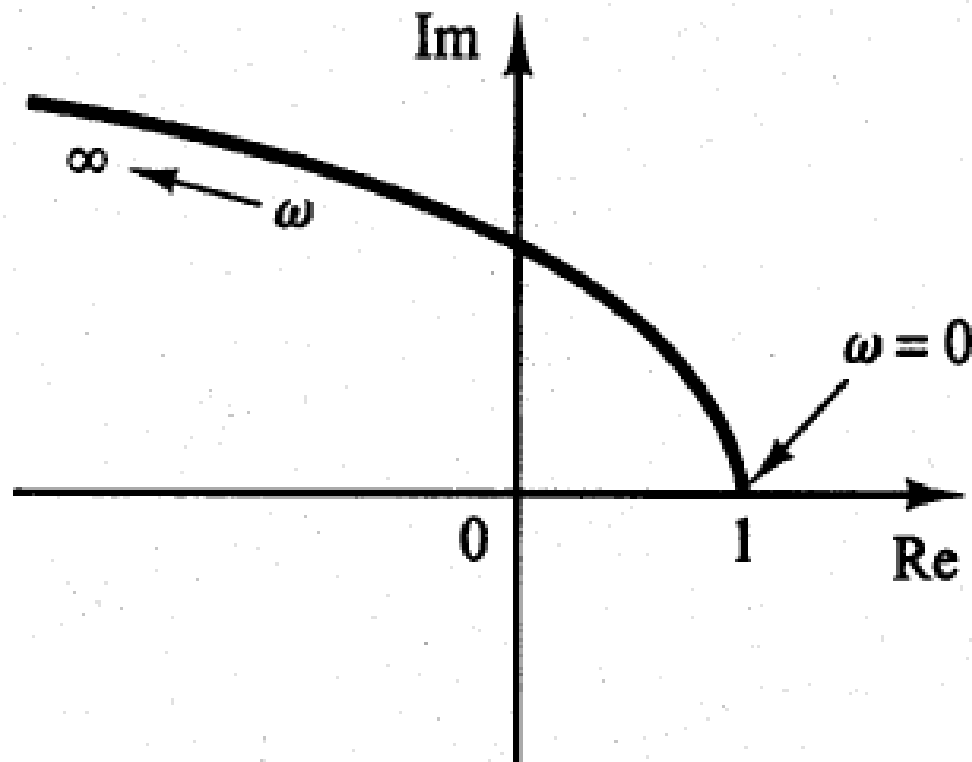


3. Fatores Quadráticos: $[1 + 2\zeta(j\omega/\omega_n) + (j\omega/\omega_n)^2]^{-1}$

Seja **G(jw)**:
$$G(j\omega) = 1 + 2\zeta\left(j\frac{\omega}{\omega_n}\right) + \left(j\frac{\omega}{\omega_n}\right)^2 = \left(1 - \frac{\omega^2}{\omega_n^2}\right) + j\left(\frac{2\zeta\omega}{\omega_n}\right)$$

baixas frequências $\lim_{\omega \rightarrow 0} G(j\omega) = 1 \angle 0^\circ$

altas frequências $\lim_{\omega \rightarrow \infty} G(j\omega) = \infty \angle 180^\circ$



Seja $G(j\omega)$:

$$G(j\omega) = \frac{1}{1 + 2\zeta \left(j \frac{\omega}{\omega_n} \right) + \left(j \frac{\omega}{\omega_n} \right)^2}, \quad \text{para } \zeta > 0$$

Porção relativa à
baixa freqüência

$$\lim_{\omega \rightarrow 0} G(j\omega) = 1 \angle 0^\circ$$

Início do
Diagrama Polar

Porção relativa à
alta freqüência

$$\lim_{\omega \rightarrow \infty} G(j\omega) = 0 \angle -180^\circ$$

Final do Diagrama
Polar

A forma exata do diagrama polar depende do valor do coeficiente de amortecimento ζ , mas a forma geral do diagrama é a mesma tanto para o caso subamortecido ($1 > \zeta > 0$) como para o superamortecido ($\zeta > 1$).

Diagrama Polar para $G(j\omega)$:

$$G(j\omega) = \frac{1}{1 + 2\zeta\left(j\frac{\omega}{\omega_n}\right) + \left(j\frac{\omega}{\omega_n}\right)^2}, \quad \text{para } \zeta > 0$$

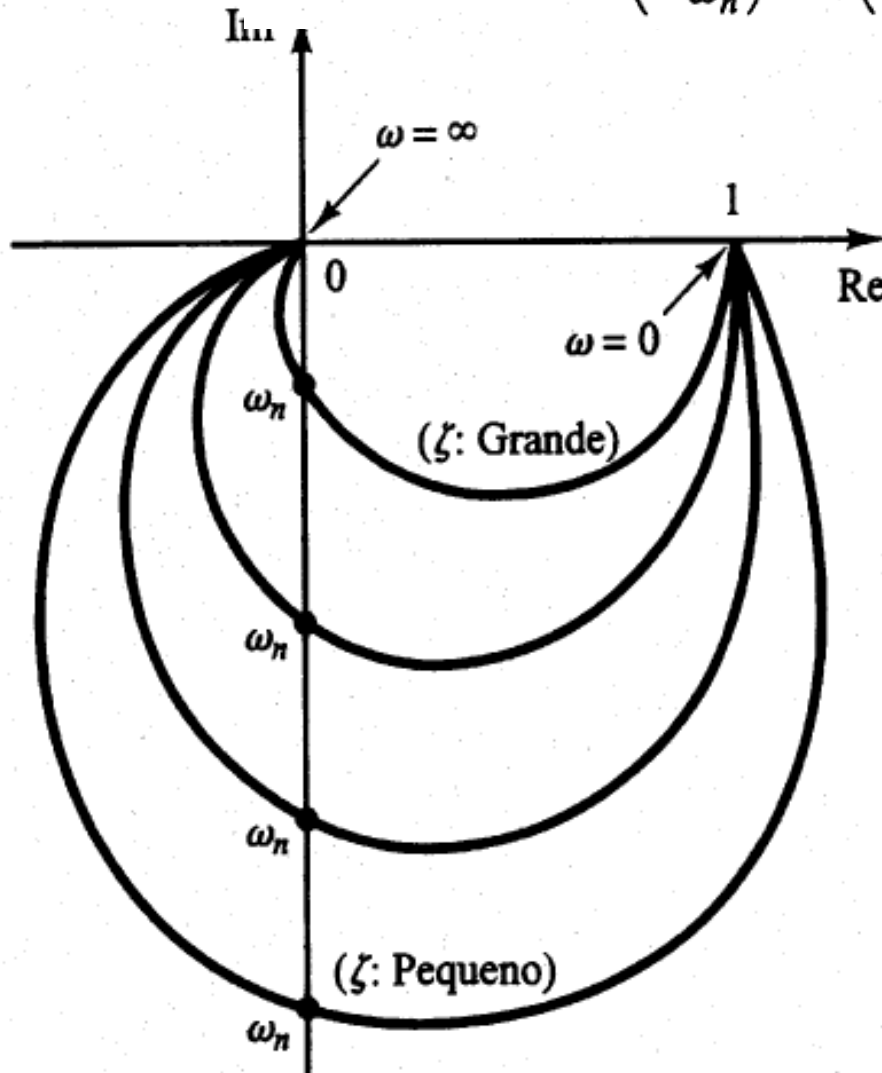
caso subamortecido

Para $\omega = \omega_n$

$$G(j\omega_n) = 1/(j2\zeta),$$

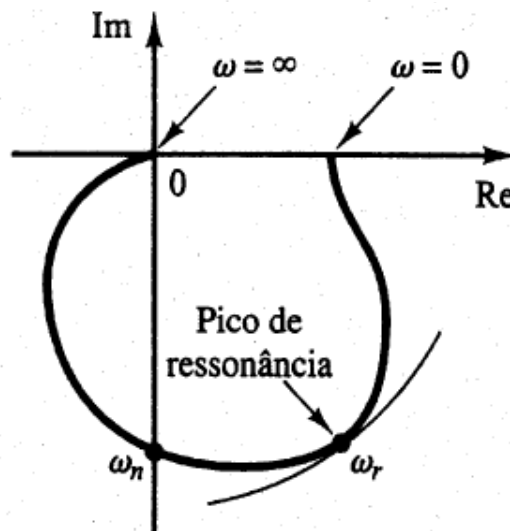
ângulo de fase = -90°

a frequência na qual o lugar geométrico de $G(j\omega)$ cruza o eixo imaginário é a frequência natural não amortecida ω_n .



Observações sobre o Diagrama Polar de $G(j\omega)$:

- 1) a frequência cujo ponto está mais distante da origem corresponde à frequência de ressonância ω_r .
- 2) O valor de pico de $G(j\omega)$ é obtido pela relação entre o módulo do vetor na frequência de ressonância ω_r e o módulo do vetor em $\omega = 0$.
- 3) Para o caso superamortecido, à medida que ζ aumenta muito além da unidade, o lugar geométrico de $G(j\omega)$ se aproxima de uma semicircunferência.
- 4) Pode-se observar esse fato nos sistemas muito amortecidos, em que as raízes características são reais e uma delas é bem menor do que a outra.
- 5) Dado que, para ζ suficientemente grande, o efeito da maior raiz (maior em valor absoluto) na resposta é muito pequeno, o sistema se comporta como de primeira ordem.



Exemplo 1

Considere a seguinte função de transferência de segunda ordem:

$$G(s) = \frac{1}{s(Ts + 1)}$$

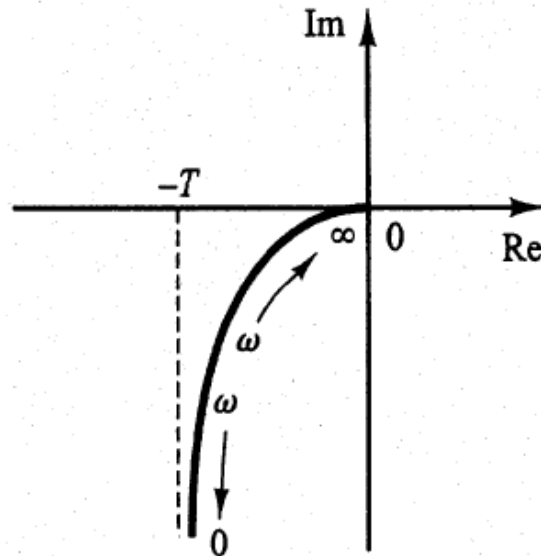
Construa o diagrama polar dessa função de transferência.

Como a função de transferência senoidal pode ser escrita como se segue:

$$G(j\omega) = \frac{1}{j\omega(1 + j\omega T)} = -\frac{T}{1 + \omega^2 T^2} - j \frac{1}{\omega(1 + \omega^2 T^2)}$$

porção relativa à baixa frequência $\lim_{\omega \rightarrow 0} G(j\omega) = -T - j\infty = \infty \angle -90^\circ$

porção relativa à alta frequência $\lim_{\omega \rightarrow \infty} G(j\omega) = 0 - j0 = 0 \angle -180^\circ$



Exemplo 2

Obtenha o diagrama polar da seguinte função de transferência:

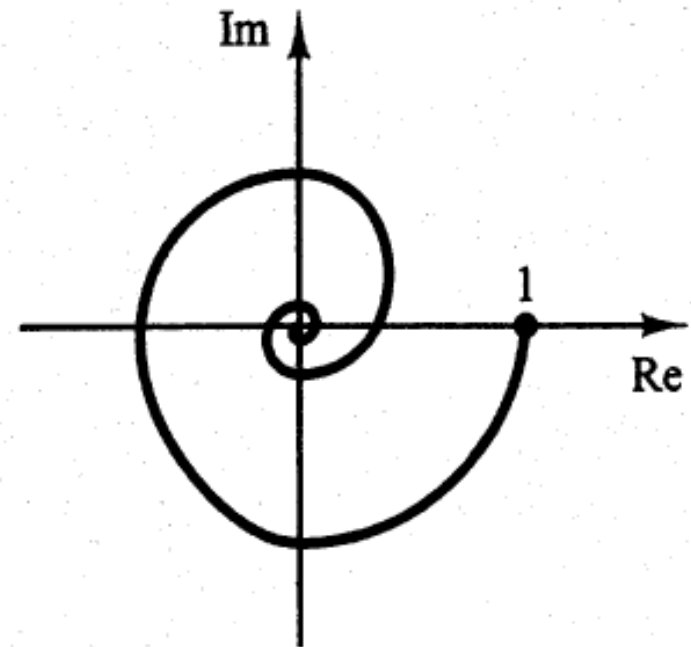
$$G(j\omega) = \frac{e^{-j\omega L}}{1 + j\omega T}$$

Como $G(j\omega)$ pode ser escrita como: $G(j\omega) = (e^{-j\omega L})\left(\frac{1}{1 + j\omega T}\right)$

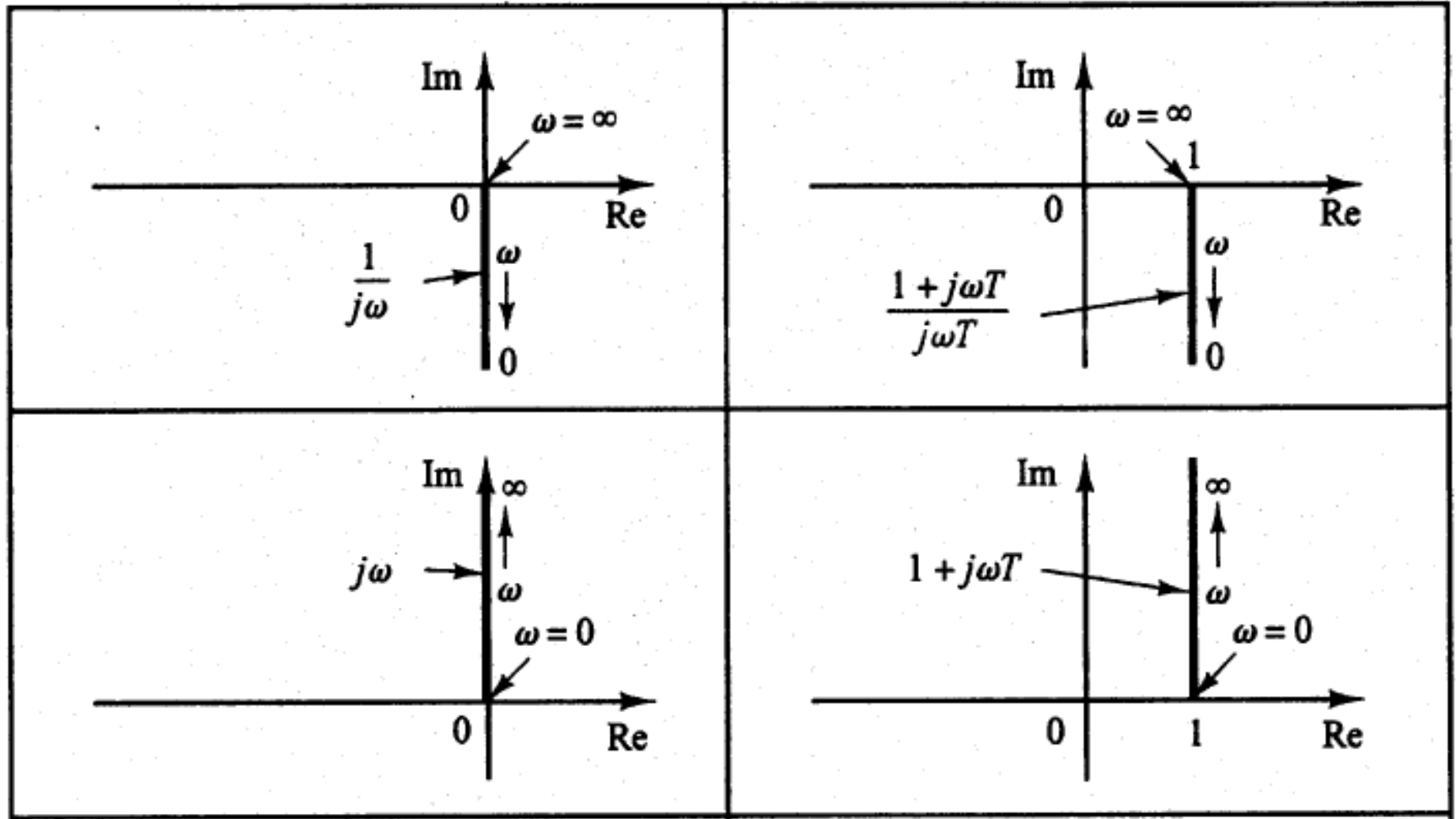
o módulo e o ângulo de fase são, respectivamente,

$$|G(j\omega)| = |e^{-j\omega L}| \cdot \left| \frac{1}{1 + j\omega T} \right| = \frac{1}{\sqrt{1 + \omega^2 T^2}}$$

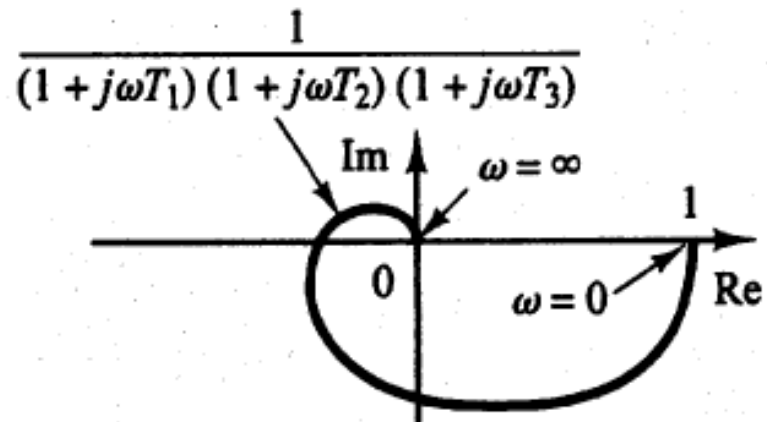
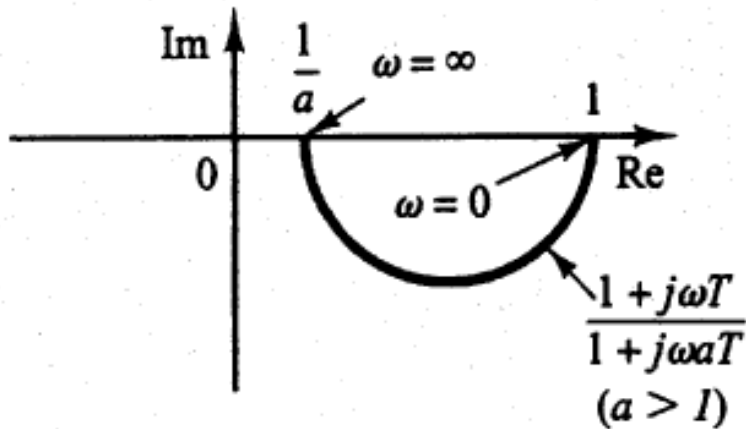
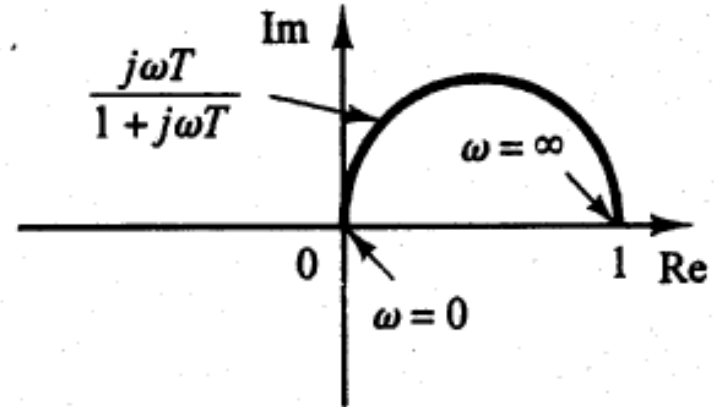
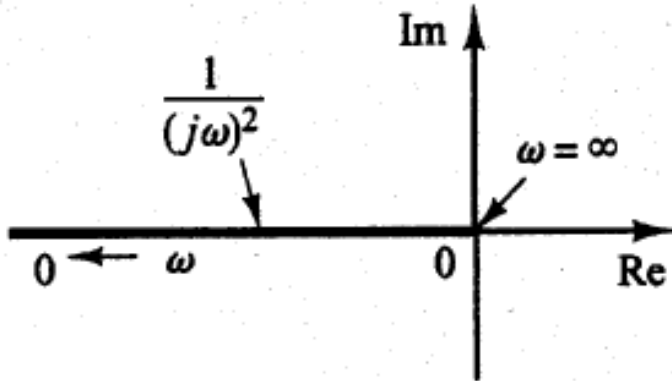
$$\angle G(j\omega) = \angle e^{-j\omega L} + \angle \frac{1}{1 + j\omega T} = -\omega L - \operatorname{tg}^{-1} \omega T$$



Diagramas Polares de Funções de Transferência Simples

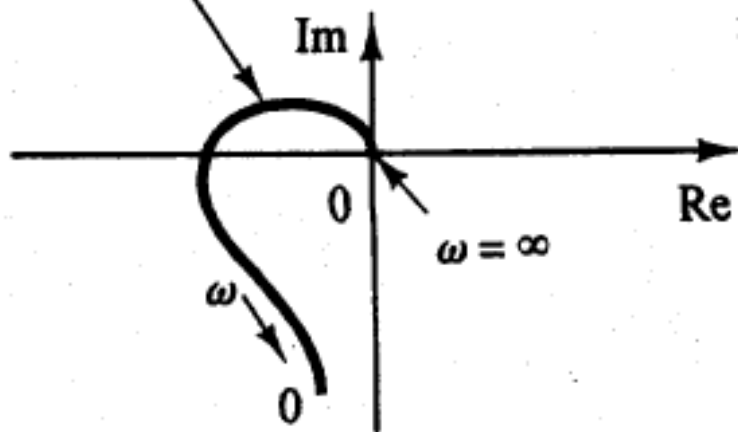


Diagramas Polares de Funções de Transferência Simples



Diagramas Polares de Funções de Transferência Simples

$$\frac{\omega_n^2}{j\omega[(j\omega)^2 + 2\zeta\omega_n(j\omega) + \omega_n^2]}$$



$$\frac{1 + j\omega T_1}{j\omega(1 + j\omega T_2)(1 + j\omega T_3)}$$

